

Sorbonne Université – Faculté des Sciences et Ingénierie
Master 1^{ère} année
PLASTICITE

Session de mai 2021

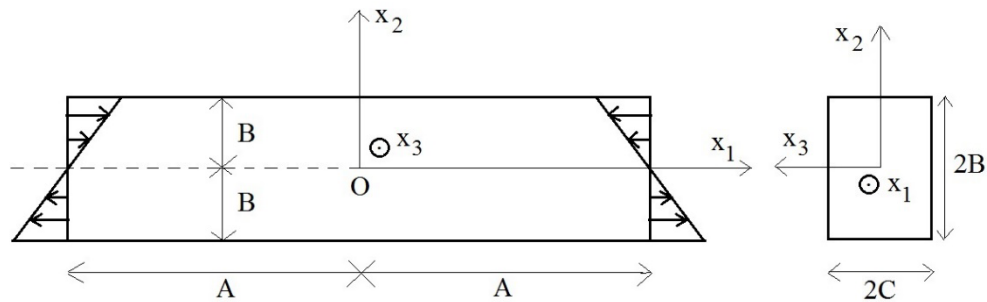
Durée : 2h – Documents, calculatrices et téléphones portables sont interdits.

Remarque :

Il est permis d'utiliser les résultats fournis par l'énoncé pour traiter la suite, même si on ne les a pas démontrés.

FLEXION CIRCULAIRE D'UNE POUTRE ELASTOPLASTIQUE

On considère une poutre parallélépipédique occupant le domaine $-A \leq x_1 \leq A$, $-B \leq x_2 \leq B$, $-C \leq x_3 \leq C$, soumise à un moment de flexion suivant la direction x_3 , en l'absence de forces de masse.



Les conditions aux limites sont les suivantes :

- Sur la section de gauche $x_1 = -A$:

$$\begin{cases} u_1 = \gamma A x_2 \\ \sigma_{12} = \sigma_{13} = 0 \end{cases}$$

- Sur la section de droite $x_1 = A$:

$$\begin{cases} u_1 = -\gamma A x_2 \\ \sigma_{12} = \sigma_{13} = 0 \end{cases}$$

- Faces latérales $x_2 = \pm B$ et $x_3 = \pm C$: libres de tractions.

Dans ces équations γ est un paramètre de chargement croissant au cours du temps à partir de zéro.

La poutre est constituée d'un matériau élastoplastique parfait, obéissant au critère de von Mises et à la loi d'écoulement plastique associée par normalité, de module d'Young E , coefficient de Poisson ν , limite d'élasticité en traction simple σ_0 .

Le problème est traité dans le cadre géométrique linéarisé (HPP, Hypothèse des Petites Perturbations).

A. Solution élastique.

On postule un champ de contraintes solution de la forme

$$\sigma_{11} = -\alpha x_2, \text{ autres } \sigma_{ij} = 0$$

où α est un paramètre à déterminer.

1. Vérifier que ce champ de contraintes vérifie les équations d'équilibre et les conditions aux limites en efforts.
2. En utilisant la loi de comportement élastique,

$$\underline{\underline{\varepsilon}} = \frac{1+\nu}{E} \underline{\underline{\sigma}} - \frac{\nu}{E} (\text{tr } \underline{\underline{\sigma}}) \underline{\underline{1}},$$

déterminer les 6 composantes du tenseur des déformations linéarisées $\underline{\underline{\varepsilon}}$.

3. En utilisant l'expression de ε_{11} , montrer que u_1 est de la forme

$$u_1 = -\frac{\alpha}{E} x_1 x_2 + f(x_2, x_3)$$

où $f(x_2, x_3)$ est une fonction restant à déterminer.

4. En utilisant les conditions aux limites sur les sections terminales, montrer que

$$u_1 = -\gamma x_1 x_2.$$

5. En utilisant les expressions de ε_{12} et ε_{22} , montrer que u_2 est de la forme

$$u_2 = \frac{\gamma}{2} (x_1^2 + \nu x_2^2) + g(x_3)$$

où $g(x_3)$ reste à déterminer.

6. En utilisant les expressions de ε_{13} et ε_{33} , montrer que u_3 est de la forme

$$u_3 = \nu \gamma x_2 x_3 + h(x_2)$$

où $h(x_2)$ reste à déterminer.

7. Montrer que les fonctions $g(x_3)$ et $h(x_2)$ sont liées par la relation

$$g'(x_3) + \nu \gamma x_3 + h'(x_2) = 0$$

et en déduire que

$$\begin{cases} u_2 = \frac{\gamma}{2} [x_1^2 + \nu(x_2^2 - x_3^2)] - ax_3 + b \\ u_3 = \nu \gamma x_2 x_3 + ax_2 + c \end{cases}$$

où a, b, c sont des constantes.

8. Expliquer pourquoi les constantes a, b, c peuvent être considérées comme nulles.

Dans ces conditions, le déplacement vertical sur la « fibre neutre » $x_2 = x_3 = 0$ vaut $u_2 = \frac{\gamma}{2} x_1^2$. L'interprétation géométrique de cette égalité est que le paramètre γ représente la *courbure* de cette fibre neutre dans le plan Ox_1x_2 . (La démonstration de cette assertion n'est pas demandée).

9. Montrer que le moment (dit *de flexion*) des efforts exercés sur la section de droite $x_1 = A$, calculé au centre de cette section, vaut $M \underline{e}_3$ (\underline{e}_3 vecteur unitaire colinéaire à la direction Ox_3) où

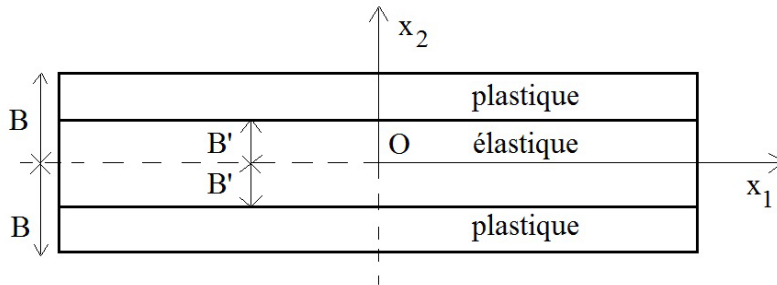
$$M = EI\gamma, \quad I = \frac{4}{3} B^3 C.$$

B. Solution élastoplastique.

10. En quel(s) point(s) commence la plasticité lorsqu'on augmente la courbure de la poutre? Montrer que les valeurs γ^1 , M^1 de la courbure et du moment de flexion correspondant à la première plasticité sont données par

$$\gamma^1 = \frac{\sigma_0}{EB}, \quad M^1 = \frac{4}{3} \sigma_0 B^2 C.$$

On se place maintenant au-delà de la charge de première plasticité. On suppose que la zone $-B' \leq x_2 \leq B'$ reste élastique tandis que les zones $-B \leq x_2 < -B'$ et $B' < x_2 \leq B$ deviennent plastiques ; la taille $2B'$ de la zone élastique est une inconnue auxiliaire qui sera finalement déterminée en fonction de la courbure γ .



On recherche une solution dans laquelle la solution purement élastique calculée précédemment reste intégralement valable dans la zone $-B' \leq x_2 \leq B'$ (en remplaçant B par B'), tandis que le champ de contraintes est donné dans la zone $-B \leq x_2 < -B'$ par

$$\sigma_{11} = \sigma_0, \text{ autres } \sigma_{ij} = 0,$$

et dans la zone $B' < x_2 \leq B$ par

$$\sigma_{11} = -\sigma_0, \text{ autres } \sigma_{ij} = 0.$$

11. Montrer que dans la zone élastique $-B' \leq x_2 \leq B'$,

$$\dot{\epsilon}_{22} = \dot{\epsilon}_{33} = -\nu \dot{\epsilon}_{11}.$$

12. En utilisant la loi d'élasticité et la loi d'écoulement plastique dans les zones plastiques $-B \leq x_2 < -B'$ et $B' < x_2 \leq B$, montrer que dans ces zones

$$\dot{\epsilon}_{22} = \dot{\epsilon}_{33} = -\frac{\dot{\epsilon}_{11}}{2}.$$

13. Justifier que le taux de déformation $\dot{\epsilon}_{33}$ est nécessairement continu à travers les surfaces $x_2 = \pm B'$ limitant la zone élastique. En déduire que la solution ne peut être de la forme recherchée que si le coefficient de Poisson ν est égal à $1/2$ (matériau élastiquement incompressible).

On fera l'hypothèse que $\nu = 1/2$ dans toute la suite.

14. En appliquant la loi d'élasticité et la loi d'écoulement plastique, montrer que $\dot{\epsilon}_{12} = \dot{\epsilon}_{23} = \dot{\epsilon}_{31} = 0$ dans toute la structure.
15. En introduisant l'hypothèse que la composante $\dot{\epsilon}_{11}$ du taux de déformation est indépendante de x_1 (invariance du problème dans la direction de l'axe de la poutre), montrer que $\dot{\epsilon}_{11} = -\dot{\gamma}x_2$ partout.
16. A partir de ces résultats, justifier sans calcul supplémentaire que le déplacement est donné dans toute la structure par

$$\begin{cases} u_1 = -\gamma x_1 x_2 \\ u_2 = \frac{\gamma}{2} x_1^2 + \frac{\gamma}{4} (x_2^2 - x_3^2) \\ u_3 = \frac{\gamma}{2} x_2 x_3. \end{cases}$$

17. En écrivant le critère au bord de la zone élastique, montrer que

$$B' = \frac{\sigma_0}{E\gamma}.$$

18. En remarquant que la contrainte σ_{11} est donnée par

$$\sigma_{11} = \begin{cases} \sigma_0 & \text{si } -B \leq x_2 < -B' \\ -\sigma_0 \frac{x_2}{B'} & \text{si } -B' \leq x_2 \leq B' \\ -\sigma_0 & \text{si } B' < x_2 \leq B, \end{cases}$$

évaluer les contributions des zones élastique et plastiques au moment de flexion et en déduire que

$$M = M^L \left[1 - \frac{1}{3} \left(\frac{\gamma^1}{\gamma} \right)^2 \right], \quad M^L = 2\sigma_0 B^2 C.$$

19. Que représente la valeur M^L du moment de flexion pour la structure ? (On justifiera la réponse).
20. Représenter graphiquement la courbe « effort-déplacement » (M en fonction de γ) de la structure, dans les deux phases élastique et plastique.

C. Décharge élastique.

On charge la poutre quasiment jusqu'à sa charge-limite (en imposant une grande valeur de γ), puis on la décharge complètement jusqu'à annulation du moment de flexion. La décharge est supposée entièrement élastique.

21. Calculer la variation $\Delta\sigma_{11}$ de la contrainte σ_{11} au cours de la décharge en tout point de la structure.

22. En déduire que la contrainte résiduelle σ_{11}^r après décharge vaut

$$\sigma_{11}^r = \begin{cases} \sigma_0 \left(1 + \frac{3}{2} \frac{x_2}{B} \right) & \text{si } x_2 < 0 \\ \sigma_0 \left(-1 + \frac{3}{2} \frac{x_2}{B} \right) & \text{si } x_2 > 0. \end{cases}$$

23. Représenter graphiquement cette distribution de contrainte et expliquer sa discontinuité en $x_2 = 0$.